

Bibliografía

BUTLER, P. H.
1965. Fossil mammals of Africa. 18: East African Miocene and Pleistocene Chalicotheres. *Bull. Br. Mus. Geol. (Nat. Hist.)*, 10 (7), 165-237.

CRUSAFONT, M. y CASANOVAS, L.
1973. *Fossilium Catalogus I: Animalia*. Pars 121: Mammalia Tertiaria Hispaniae. Westphal F. Editor.

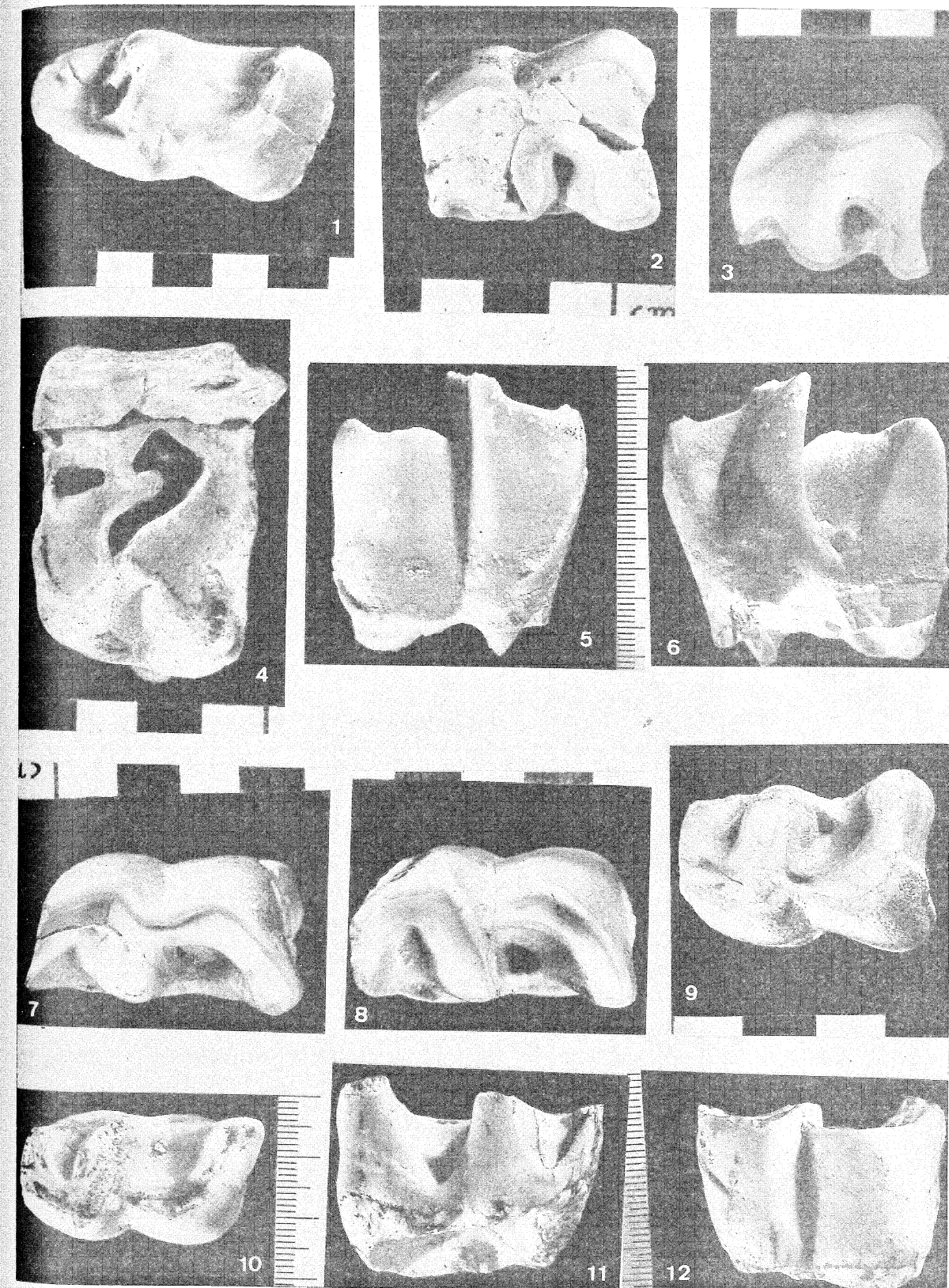
SCHAEFER, H. y ZAPFE, H.

1971. *Chalicotherium grande* BLAINV. und *Chalicotherium goldfussi* KAUP. Odontologische und osteologische Unterschiede. *Verhandl. Naturf. Ges. Basel*, 81, 157-199.

ZAPFE, H.

1979. *Chalicotherium grande* (BLAINV.) aus den miozänen Spaltenfüllungen von Neudorf der March (Devinska Nova Ves), Tschechoslowakei. *Neu-denk. Schriften des naturhistorischen Mus., Wien*, 2

LAMINA I



LAMINA I

Aceratherium cf. incisivum de Los Valles de Fuentidueña (Segovia)

- Fig. 1.— M_3 izquierdo (1253 LVF), en vista oclusal.
- Fig. 2.— P_4 derecho (A 2/2-35), en vista oclusal.
- Fig. 3.— P_3 derecho (R-22), en vista oclusal.
- Fig. 4.— P^3 derecho (B 3/3-1), en vista oclusal.

Aceratherium simorrense duratonense n. ssp. de Los Valles de Fuentidueña (Segovia)

- Fig. 5.— M_3 derecho (R-13), en vista labial o externa.
- Fig. 6.— M_3 derecho (R-13), en vista lingual.
- Fig. 7.— M_3 derecho (4.000 LVF), en vista oclusal.
- Fig. 8.— M_2 derecho (C3/sn-2), en vista oclusal.
- Fig. 9.— P_4 izquierdo (R-10), en vista oclusal.
- Fig. 10.— M_1 izquierdo (R-12), en vista oclusal.
- Fig. 11.— M_1 izquierdo (R-12), en vista lingual.
- Fig. 12.— M_1 izquierdo (R-12), en vista labial.

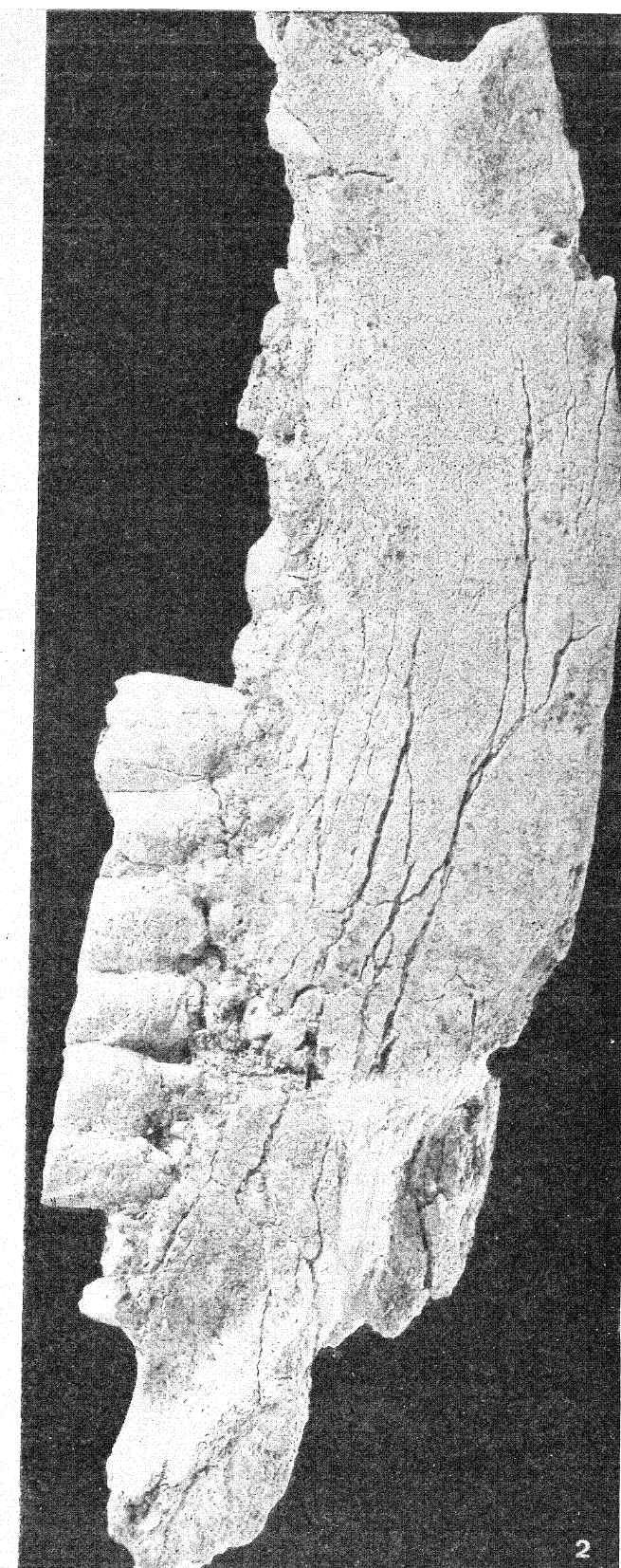
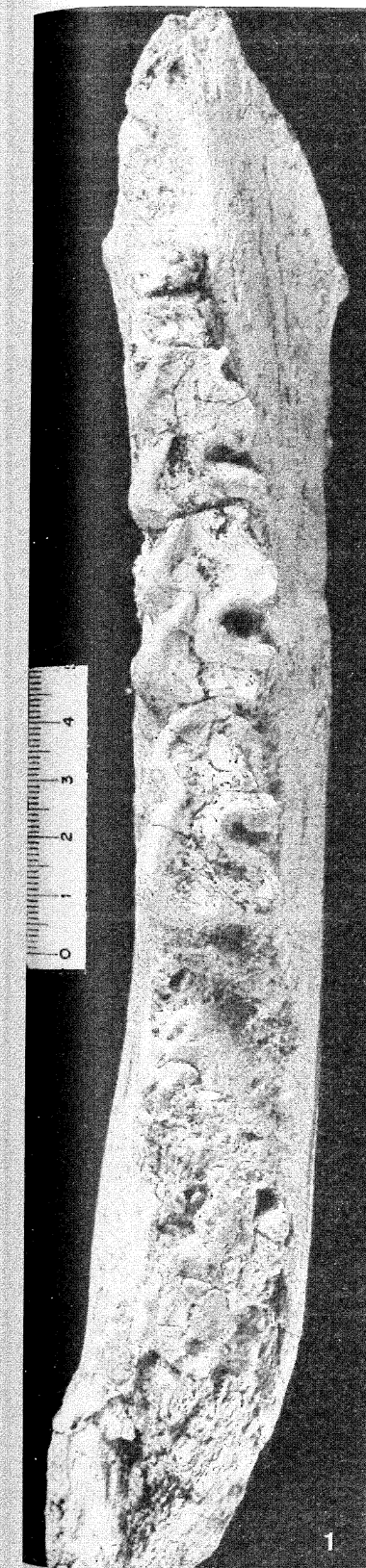
LAMINA II

LAMINA II

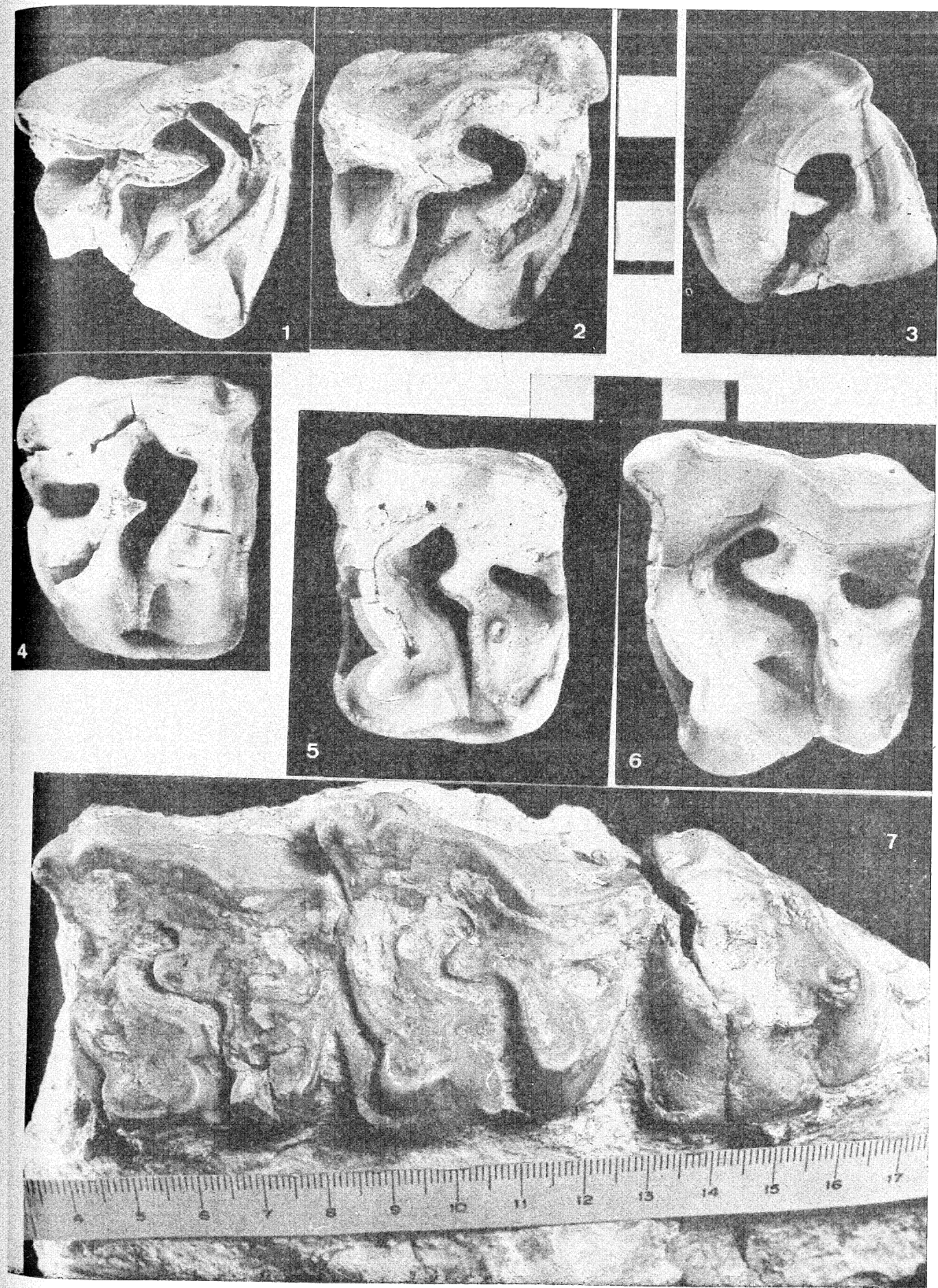
Hemimandíbula izquierda con P_3-M_1 (4.001 LVF). Holotipo de *Aceratherium simorrense duratonense* n. ssp. de Los Valles de Fuentidueña (Segovia).

Fig. 1.—En vista oclusal.

Fig. 2.—En vista lateral externa.



LAMINA III



LAMINA III

Aceratherium simorrense duratonense n. ssp. de Los Valles de Fuentidueña (Segovia)

- Fig. 1.—M² derecho (R-2), en vista oclusal. Escala entre figura 2 y 3.
- Fig. 2.—M² derecho (R-45), en vista oclusal. Escala entre figura 2 y 3.
- Fig. 3.—M³ derecho (R-19), en vista oclusal. Escala entre figura 2 y 3.
- Fig. 4.—P⁴ derecho (1.486 LVF), en vista oclusal. Escala entre figura 2 y 3.
- Fig. 5.—P³ izquierdo (B 2/2-27), en vista oclusal.
- Fig. 6.—M¹ izquierdo (1.796 LVF), en vista oclusal.

Aceratherium simorrense duratonense n. ssp., de Chiloeches (Guadalajara)

- Fig. 7.—Serie molar M¹-M³ izquierdo, en vista oclusal, depositado en el MNCN de Madrid.

LAMINA IV

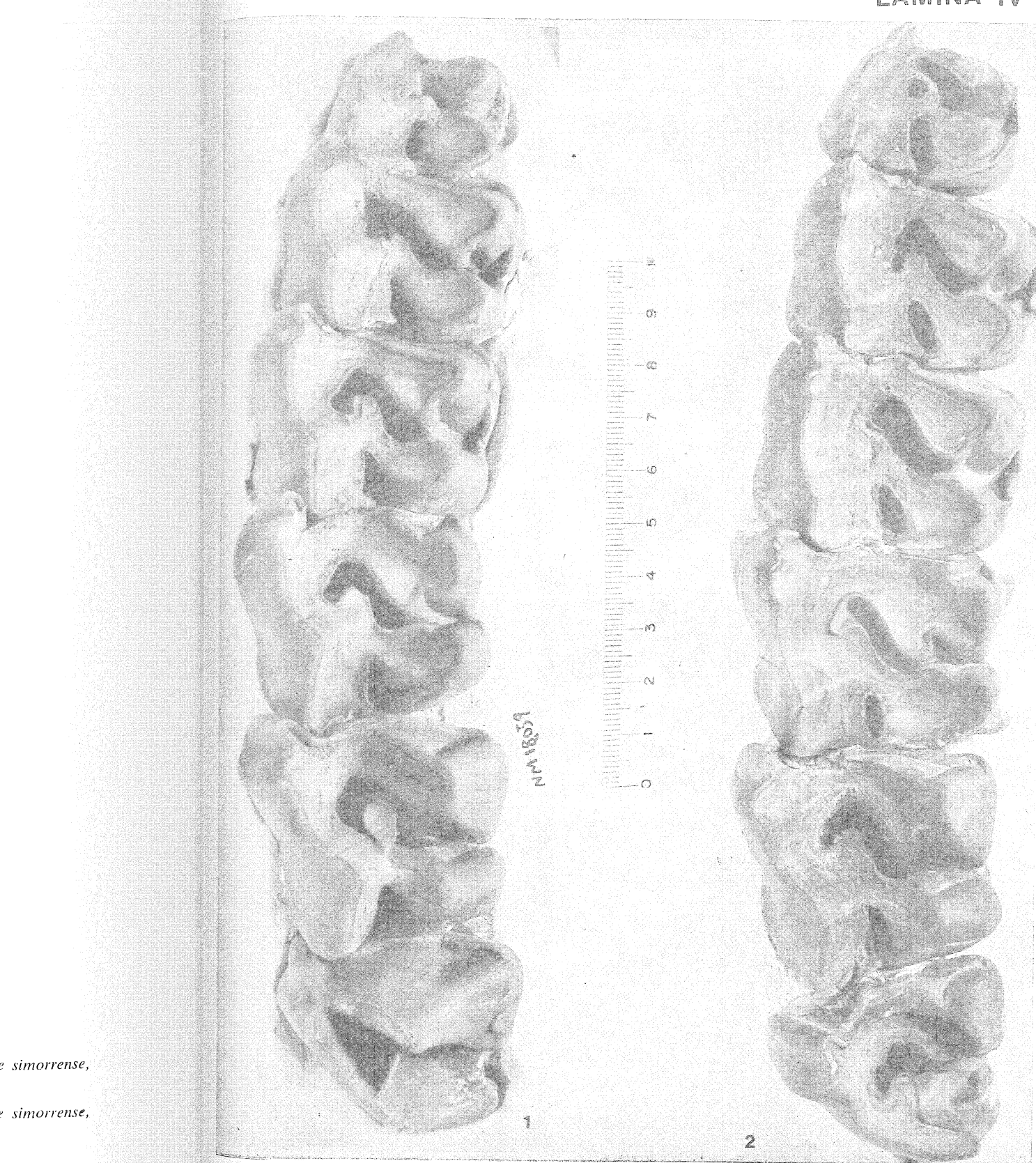


Fig. 1.—Serie superior derecha, P^2-M^3 (NM 18.059), de *Aceratherium simorrense simorrense*, Palencia.

Fig. 2.—Serie superior derecha, P^2-M^3 (LC 16.001), de *Aceratherium simorrense simorrense*, de La Cistérniga (Valladolid).